

波束型搅乱に対する線型安定理論

航技研 伊藤信毅

1. 序

平流の流れあることは近似的に平行と見なせる流れ。微小搅乱に対する安定性についてはすでに非常に多くの研究がなされている。しかし、その大部分は单色波型の搅乱を対象としたものであり、その場合搅乱の波数 n は振動数 ω から一方で実数定数 k にて定められ、他方で複素数の固有値 λ にて決定する固有値問題を解くことになる。流れの安定不安定は、搅乱の增幅率または減衰率を表す固有値の虚数部が正であるか負であるかによって判定され、とくにその値が丁度零にあるときは中立安定と呼ぶ。二次元 Poiseuille 流や Blasius 型境界層流れなど代表的な速度分布形に関しては、多くの研究者によつてこの種の固有値計算が行われている。(Shen 1954, Lin 1955, Jordinson 1970, Itoh 1974, その他)

单色波型の搅乱は空間的または時間的に一定の波数または

振動数を持つことになるので、例えば Schubauer & Skramstad (1948) が行った実験のように外部から一定の周波数を持つ強制力を加えて人工的に発生させた擾乱を表現していることに当る (Gaster 1965)。そこで、もとと自然な形の擾乱、すなはち波数や振動数および振幅がすべて時間的にも空間的にもゆるやかに変化する波束型擾乱に対する安定問題を扱うこと Gaster (1968) や Stewartson & Stuart (1971) 等によって始められた。Gaster は時間が十分大きくなったり、擾乱の形状と発育状況を鞍部法によって調べ、擾乱、波数と振動数、両方の複素数として扱うことの必要性を明らかにした。一方、Stewartson & Stuart は限界 Reynolds 数 R_c よりわずかに大きい Reynolds 数 R の場合を考え、 $|R - R_c|$ に比例する微小パラメタと仲介となる多重尺度の方法を用いて非線型性を含めた解析を行ない、擾乱振幅のゆるやかな変化が Schrödinger 型方程式に支配されることが示せられた。しかしこの理論には $|R - R_c|$ が十分小さな範囲でしか有効でないという大きな制約がある。

本稿では、Whitham (1974) の運動学的波動理論の手法を用いて波束型擾乱に対する流れの線型安定性を調べ、これに波数と振動数がともに複素数の場合の中立曲線を与える。さらに、擾乱振幅、発達過程を記述する方程式系を導出し、これが Stewartson-Stuart 理論一般化に相当する二つの場合。

2. 微小パラメタによる展開過程

二次元 Poiseuille 流の二次元波束型搅乱に対する線型安定性を考える。基本流と搅乱の流れ函数をそれぞれ $\Psi_0(y) (=y - y^3/3)$, $\psi(x, y, t)$ とするとき, 線型搅乱方程式はつきのように書ける。

$$\left\{ \frac{1}{R} \left(\frac{\partial^2}{\partial x^2} + \frac{\partial^2}{\partial y^2} \right)^2 - \left(\frac{\partial}{\partial t} + \frac{d\Psi_0}{dy} \frac{\partial}{\partial x} \right) \left(\frac{\partial^2}{\partial x^2} + \frac{\partial^2}{\partial y^2} \right) + \frac{d^3\Psi_0}{dy^3} \frac{\partial}{\partial x} \right\} \psi = 0, \quad (2.1)$$

ただし, (x, y) は平板に平行および垂直の方向, 産標, t は時間である。また, 全ての量は平板間の半幅 h , 基本流の最大流速 U_0 で無次元化されているものとし, R は $R = U_0 h / \nu$ (ν : 動粘性係数) で定義された Reynolds 数である。境界条件は平板上 ($y=1$) で搅乱速度が 0 になること, および平板間の中心線 $y=0$ に対して反対称な搅乱のみを考えることによってつきのように与えられる。

$$y=0 \text{ で } \frac{\partial \psi}{\partial y} = \frac{\partial^3 \psi}{\partial y^3} = 0, \quad y=1 \text{ で } \frac{\partial \psi}{\partial y} = \frac{\partial^3 \psi}{\partial y^3} = 0. \quad (2.2)$$

Whitham (1974, chap. 11), 運動学的波動理論の手法に従って, 方程式 (2.1) の解をつきの形におく。

$$\psi = e^{\frac{i}{\varepsilon} \Phi(\xi, \tau)} \sum_{n=0}^{\infty} \varepsilon^n \psi_n(y; \xi, \tau) \quad (2.3)$$

ただし, ε は微小パラメタであり, ξ と τ は

$$\xi = \varepsilon x, \quad \tau = \varepsilon t \quad (2.4)$$

で定義される大きさの尺度, 空間産標と時間産標である。微小パラメタ ε は, 局所的波長や周期で代表される短かい尺度と波束全体の広がりなどに代表される長い尺度, 比を表す量

である。このとき、局所的波数 k やおよび振動数 ω は次式で定義される。

$$k(\xi, \tau) = \frac{\partial \textcircled{1}}{\partial \xi}, \quad \omega(\xi, \tau) = -\frac{\partial \textcircled{4}}{\partial \tau}. \quad (2.5)$$

本稿では、これらの量は一般に複素数として扱われるべくして、実際、波数と振動数は実数部 k_r より ω_r で表され、虚数部 $k_i \sim \omega_i$ はそれぞれ空間的減衰率と時間的増幅率を表す。

(2.5) から \textcircled{4} を消去すると、つきの関係式が得られる。

$$\frac{\partial k}{\partial \tau} + \frac{\partial \omega}{\partial \xi} = 0. \quad (2.6)$$

(2.3) より (2.5) 及び (2.1) 及び (2.2) に代入して ε の各べきの係数 ε^0 に等しいと置くと、未知函数 ψ_0 に対する無限個の方程式と境界条件の系が得られる。 $\varepsilon < 1 = \varepsilon_0$ の最低次の係数からはよく知られる Orr-Sommerfeld 型固有値問題が導かれる。いま、微分作用素

$$L = \frac{1}{R} \left(\frac{d^2}{dy^2} - k^2 \right)^2 - ik \frac{d\psi_0}{dy} \left(\frac{d^2}{dy^2} - k^2 \right) + ik \frac{d^3\psi_0}{dy^3}, \quad M = \frac{d^2}{dy^2} - k^2 \quad (2.7)$$

を導入すると、この問題はつきの形に書かれる。

$$(L + i\omega M)\psi_0 = 0 \quad (2.8)$$

$$\psi_0'(0; \xi, \tau) = \psi_0'''(0; \xi, \tau) = \psi_0(1; \xi, \tau) = \psi_0'(1; \xi, \tau) = 0 \quad (2.9)$$

ただし、' は d/dy 。これを解くと、無限個の固有値と固有函数の列が k の函数として得られるが、ここではそのうち固有値の虚数部、すなわち時間的増幅率が最大となるモードだけを考えることにし、対応する固有値と固有函数を $\Omega(k)$ より

$\phi_0(y; k)$ を書くことをにする。このとき、(2.8) の解は

$$\psi_0 = a_0(\xi, \tau) \phi_0(y; k) \quad (2.10)$$

となる、 a_0 は ξ, τ の任意函数である。また、 ϕ_0 は $k(\xi, \tau)$ を通じてのみ ξ と τ に依存する。一方、 $k(\xi, \tau)$ の変化を支配する方程式は

$$\omega = \Omega(k) \quad (2.11)$$

を (2.6) に代入すると式によつて、つきのように得られる。

$$\frac{\partial k}{\partial \tau} + C(k) \frac{\partial k}{\partial \xi} = 0 \quad (2.12)$$

ただし、 $C(k)$ は群速度を複素数領域に拡張したもので、次式で定義される。

$$C(k) = \frac{d\Omega}{dk} \quad (2.13)$$

つきに、 ϵ' 次の係數から定まる方程式系は

$$(L + i\omega M) \psi_1 = \frac{\partial a_0}{\partial \tau} M \phi_0 + i \frac{\partial a_0}{\partial \xi} \left(\frac{\partial L}{\partial k} + i\omega \frac{\partial M}{\partial k} \right) \phi_0 \\ + i a_0 \frac{\partial k}{\partial \xi} \left\{ \left(\frac{\partial L}{\partial k} + i\omega \frac{\partial M}{\partial k} + i \frac{d\omega}{dk} M \right) \frac{\partial \phi_0}{\partial k} + \frac{1}{2} \left(\frac{\partial^2 L}{\partial k^2} + i\omega \frac{\partial^2 M}{\partial k^2} + 2i \frac{d\omega}{dk} \frac{\partial M}{\partial k} \right) \phi_0 \right\} \quad (2.14)$$

$$\psi_1'(0; \xi, \tau) = \psi_1'''(0; \xi, \tau) = \psi_1(1; \xi, \tau) = \psi_1'(1; \xi, \tau) = 0 \quad (2.15)$$

となる。ただし、 $\partial L/\partial k$, $\partial M/\partial k$ 等は L , $M \in k$ の函数として微分したものである。 (2.14) の左辺は同次方程式 (2.8) と同じ作用素を持つから、この方程式が解を持つためには、右辺がある条件を満たす必要がある。いま、(2.8) に対応する隨伴微分方程式の固有函数を $\chi(y)$ とする、(2.14) の可解条件は、右辺に $\chi(y)$ を乗じて χ の y に関する 1 次の積分したもの

ϕ_0 に等しくなることである。ここで、(2.8) は k で一回微分したものかよび二回微分したものかつて同様の可解条件を適用したことには得るかの関係

$$C \equiv \frac{d\omega}{dk} = i \int_0^1 \Phi \left(\frac{\partial L}{\partial k} + i\omega \frac{\partial M}{\partial k} \right) \phi_0 dy / \int_0^1 \Phi M \phi_0 dy \quad (2.16)$$

$$\begin{aligned} C' \equiv \frac{d^2\omega}{dk^2} &= 2i \int_0^1 \Phi \left\{ \left(\frac{\partial L}{\partial k} + i\omega \frac{\partial M}{\partial k} + i \frac{d\omega}{dk} M \right) \frac{\partial \phi_0}{\partial k} \right. \\ &\quad \left. + \frac{1}{2} \left(\frac{\partial^2 L}{\partial k^2} + i\omega \frac{\partial^2 M}{\partial k^2} + 2i \frac{d\omega}{dk} \frac{\partial M}{\partial k} \right) \phi_0 \right\} dy / \int_0^1 \Phi M \phi_0 dy \end{aligned} \quad (2.17)$$

と利用する。2.14 の可解条件は結局つきのように書ける。

$$\frac{\partial Q_0}{\partial z} + C(k) \frac{\partial Q_0}{\partial \bar{z}} + \frac{1}{2} C'(k) \frac{\partial k}{\partial \bar{z}} Q_0 = 0 \quad (2.18)$$

この式は、また、つきのように書き換えることができる。

$$\frac{\partial Q_0^2}{\partial z} + \frac{\partial}{\partial \bar{z}} (C Q_0^2) = 0 \quad (2.19)$$

これは Whitham (1974 chap. 11) の wave action density 保存則に対応するものであるが、ここで Q_0 よび C が複素数であることに注意すべきである。

3. 中立曲線

複素波数 k を支配する方程式 (2.12) の一般解を求めるため、ここでは、筆者 (伊藤 1978) によって導入された複素座標空間の概念を用いる。すなはち、空間座標を実軸とする複素空間

$$z = \xi + iz \quad (3.1)$$

を元、 k がこの複素空間全域で定義できるものと仮定する。

これは k_1, k_2 の解析函数であることを期待していることになる。

ただし、 $\zeta = 0$ で表わされる実軸上における値 $k(\zeta, \bar{\zeta})$ だけが我々の目に見える物理空間内で実現される複素波数を与えるが、それ以外の領域における k の値は物理現象と直接の関係はない。さて、これらで書き換えることによって (2.12) は

$$\frac{\partial k}{\partial \bar{\zeta}} + C(k) \frac{\partial k}{\partial \zeta} = 0 \quad (3.2)$$

一般化される。いま、複素空間内で定義される特性曲線に沿って微分を考えてやることによって、上式は等価な連立常微分方程式

$$\frac{d\zeta}{d\tau} = C(k), \quad \frac{dk}{d\tau} = 0 \quad (3.3)$$

に書き換えることができる。この式は特性曲線に沿って k が一定であることを示し、したがって $(\zeta, \bar{\zeta})$ 平面上における特性基礎曲線も k の値に応じた一定の勾配を持つ直線になることが判る。いま、4 次元空間 $(k_r, k_i, \zeta, \bar{\zeta})$ の中、ある真空中を中心とする小さな閉曲面の内部にエネルギーが集中していようとする初期条件を考えると、この閉曲面は時間の経過と共に、真ん中から走る一本の直線に沿って動く(図 1 参照)。この直線が平面 $\zeta = 0$ に平行でないなら、直線は一定の ζ 平面 $\zeta = 0$ と交めるところになり、擾乱エネルギーを含む閉曲面がそこを通過する短かい時間だけ物理空間中に擾乱が進んで表わし、それ以外の時刻には物理空間に擾乱が存在しないこ

とになります。このように物理空間内に擾乱を引続く発生させ元の解は我々の現在の目的にとって興味がない。擾乱が常に物理空間中に伝播して中立状態を表わす解と考えると、その特性曲線は平面 $\gamma=0$ に含まれていいことが必要である。これは $C(k)$ の虚数部が 0 になるという条件を付加することによってみだされる。

$$C_i(k_r, k_z) = 0 \quad (3.4)$$

この条件は k_r と k_z の間に一つの関係を設定するので、両者はや勝手には選べないといつてよい。なお、Gaster (1968) は離散算法を用いて (3.4) に等価な条件を導いている。

一般に固有値問題から定まる関係 (2.11) は 4 つの量 ω_r , ω_z , k_r , k_z の間に 2 個の関係式を与えるにすぎない。したがってこれら 4 の量のうちただ一つを独立量と見なし、他の三つをその函数として一意に決定するためには、もう一つの拘束条件が必要になる。従来の線型安定理論では、 k またはのどちらか一方を実数に選ぶことによつてはじめから拘束条件 $k_z=0$ または $\omega_z=0$ を付加してきただが、このような条件を選ぶ必然性はないものといふ。たゞ Gaster (1965) は、振動リボンによつて一定の振動数を持つ強制外力を継続的に加えてやつたとき生じる擾乱は、拘束条件 $\omega_z=0$ を満たしていることを示した。しかし、もっと自然な状態で発生する擾乱に対しては、上に

与えられた条件 (3.4) を満たすべきものと思われる。

条件 (3.4)のもとでは、群速度 $C(k)$ は実数値を取り、擾乱はこの速度で下流に伝播する。したがって、擾乱が増幅するか減衰するかを調べるには、位相函数 $\Phi(\xi, t)$ の虚数部が特性曲線に沿ってどのように変化するかを見ればよい。すなわち、

$$-I_m\left(\frac{d\Phi}{d\xi}\right) = -I_m\left(\frac{\partial\Phi}{\partial\xi} + C\frac{\partial\Phi}{\partial t}\right) = \Omega_i(k_r, k_i) - k_i C_r(k_r, k_i) \quad (3.5)$$

が正ならば増幅、負ならば減衰である。図 2 と図 3 には (3.4) のもとで中立安定のための条件

$$\Omega_i(k_r, k_i) - k_i C_r(k_r, k_i) = 0 \quad (3.6)$$

をみたす k_r および対応する w_r と Reynolds 数 R に対して描いた曲線すなわち中立曲線が与えられてゐる。実線で示された曲線は従来の線型安定理論に基づく中立曲線であるが、新しい中立曲線はこれに比べて非常に細い形状を持つ実測結果である。

なお、一実験線は最大増幅率 ϵ と k_r と w_r を示したもので、この線上では $k_i = 0$ である。最大増幅率 ϵ を計算すると $\epsilon = 0.03$ である。従来の拘束条件 $k_i = 0$ を用いても同じ結果が得られる。これら固有値の計算には筆者、数值計算法 (Itoh 1974) を用いた。

いま、 R_c より大きい Reynolds 数 R を参考、ある一実験で発生した波束型擾乱が時間とともにどのように発達するかを見るところである。擾乱は初期の段階ではほとんど全ての波数成分を含むが、十分下流に伝播した段階では図 2 に与えられた新し

い中立曲線の内部にある波数成分だけが生き残り、他の成分はすべて減衰してしまう。残された波数成分はそれ自身自身に固有の一定な群速度で伝播するから、擾乱の占める空間領域は伝播距離に比例して広がり、図4の斜線部分のように表現される。波束の前縁は中立曲線の上分枝に対応する波数からなり、後縁は中立曲線下分枝上の波数成分を持つ。また、最大振幅を持つ波束中心部は図2の一実験線上の波数成分から成り立っていることも判る。以上の解析結果は Gaster & Grant (1975) が平板境界層について最近行った実験結果に対して定性的な説明を与えているものと思われる。

4. 振幅方程式

いま、擾乱の中のある波数成分に着目すると、成分の伝播の状況は (2.12) を支配され、その成分の持つ振幅は (2.18) を調べることで明らかになる。擾乱の発生点から十分下流では、最大增幅率を持つ波数成分が支配的になって波束の中心を形成するから、ここではその中心領域での振幅分布がどうなる形状を持つかを調べてみる。Reynolds数を固定したとき最大增幅率を持つ波数を k_0 とし、それとの差が $\varepsilon^{\frac{1}{2}}$ の程度しか違わぬ、波数成分だけから構成される領域を拡大して見るために

$$X = \varepsilon^{\frac{1}{2}}(\xi - C_0 \tilde{\tau}), \quad T = \tilde{\tau} \quad (4.1)$$

る座標変換を行ふ。ここで C_0 は波数 k_0 、持つ群速度 $C(k_0)$ を
とる。考えてみる波束中心付近では、波数と振動数は k_0 および
 $\omega = \Omega(k_0)$ は十分近く、固有函数 $\phi_0(y; k_0)$ は十分近くから、
擾乱の波数と流れ函数 ψ は上のようにならんでよい。

$$k = k_0 + \varepsilon^{\frac{1}{2}} k_1(x, T) + O(\varepsilon) \quad (4.2)$$

$$\psi = e^{i(k_0 x - \Omega_0 t)} A(x, T) \phi_0(y; k_0) + O(\varepsilon^{\frac{1}{2}}) \quad (4.3)$$

(4.3) と (2.3) (2.10) を比較すると Ω_0 と振幅 A の関係は

$$\Omega_0(\xi, \tau) = A(x, T) \exp\left[\frac{i}{\varepsilon}\{k_0 \xi - \Omega_0 \tau - \Phi(\xi, \tau)\}\right] + O(\varepsilon^{\frac{1}{2}}) \quad (4.4)$$

と書ける。(4.2) と (4.4) を (2.12) と (2.18) に代入して $\varepsilon^{\frac{1}{2}}$ の高次項を省略するとつきの二式を得る。

$$\frac{\partial k_1}{\partial T} + C'_0 k_1 \frac{\partial k_1}{\partial X} = 0 \quad (4.5)$$

$$\frac{\partial A}{\partial T} + C'_0 k_1 \frac{\partial A}{\partial X} + \frac{1}{2} \left(\frac{\partial k_1}{\partial X} - i k_1^2 \right) C'_0 A = 0 \quad (4.6)$$

(4.5) の解は

$$k_1 = \frac{X - X_0}{C'_0 T} \quad (4.7)$$

これを (4.6) に代入して積分する

$$A = \frac{A_0}{\sqrt{T}} \exp\left\{i(X - X_0)^2 / (2C'_0 T)\right\} \quad (4.8)$$

を得る。 X_0 は波束中心の座標、 A_0/\sqrt{T} は中心波数 k_0 の
成分が時刻 T に持つ振幅である。ただし、中心波数 k_0 は実数
であるが (4.3) における Ω_0 は一般には複素数であるから、波数
 k_0 の持つ実際の振幅は $A_0/\sqrt{T} = \exp(\Omega_0 i t)$ を乘したものである。
いまとくに、 R を限界 Reynolds 数 R_c の近傍に選ぶ、その差

$\varepsilon R - R_c = \varepsilon R_1$ × 書くことに,

$$k_o(R) = k_c + \varepsilon R_1 \left(\frac{dk_o}{dR} \right)_c + O(\varepsilon^2), \quad (4.9)$$

$$\Omega(k_o, R) = \Omega_c + \varepsilon R_1 \left\{ C_c \left(\frac{dk_o}{dR} \right)_c + \left(\frac{d\Omega}{dR} \right)_c \right\} + O(\varepsilon^2) \quad (4.10)$$

より、(4.3) の指標項はつきのようになる。

$$\begin{aligned} k_o x - \Omega_o t &= (k_c x - \Omega_c t) + \varepsilon R_1 \left\{ \left(\frac{dk_o}{dR} \right)_c (x - C_c t) - \left(\frac{d\Omega}{dR} \right)_c t \right\} + O(\varepsilon^2) \\ &= (k_c x - \Omega_c t) + R_1 \left\{ - \left(\frac{d\Omega}{dR} \right)_c T + \varepsilon^{\frac{1}{2}} \left(\frac{dk_o}{dR} \right)_c X \right\} + O(\varepsilon^2) \end{aligned} \quad (4.11)$$

以上より、実質的な振幅は $\varepsilon^{\frac{1}{2}}$ の最低次まで近似で

$$B(X, T) = \frac{A_o}{\sqrt{T}} \exp \left\{ \frac{i(X - X_o)^2}{2C_c T} - i \left(\frac{d\Omega}{dR} \right)_c R_1 T \right\} \quad (4.12)$$

のようになります。これは非線形項を省略した Stewartson
× Stuart (1971) の式

$$\frac{\partial B}{\partial T} - \frac{i C_c'}{2} \frac{\partial^2 B}{\partial X^2} = -i \left(\frac{d\Omega}{dR} \right)_c R_1 B \quad (4.13)$$

の解に相当している。ここで与えられた理論は一般に任意の Reynolds 数に対して成り立ち、とくに限界 Reynolds 数の近傍では Stewartson × Stuart の方程式に対する解を与える点は非常に興味深い。

参考文献

- Gaster, M. 1965 J. Fluid Mech. 22, 433.
 Gaster, M. 1968 J. Fluid Mech. 32, 173
 Gaster, M & Grant, I. 1975 Proc. R. Soc. Lond. A. 347, 253.
 Itoh, N. 1974 Trans. Japan Soc. Aero. Space Sci. 17, 65
 伊藤 1978 数理解析研究講究録 326, 132.

Jordinson, R. 1970 J. Fluid Mech. 43, 801

Lin, C. C. 1955 Hydrodynamic Stability. Cambridge Univ. Press

Schubauer, G. B. & Skramstad, H. K. 1947 NACA TR 909.

Shen, S. F. 1954 J. Aero. Soc. 21, 62.

Stewartson, K. & Stuart, J. T. 1971 J. Fluid Mech. 48, 529.

Whitham, G. B. 1974 Linear and Nonlinear Waves. John Wiley & Sons.

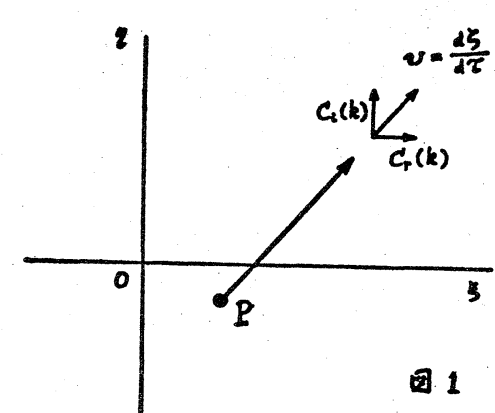


図 1

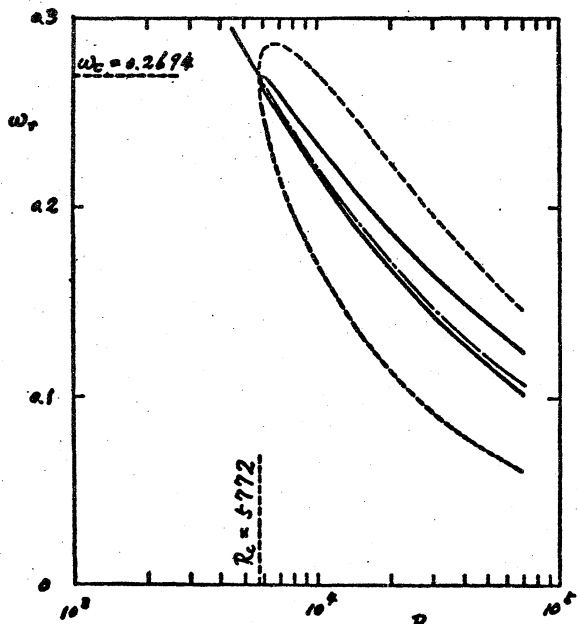


図 3

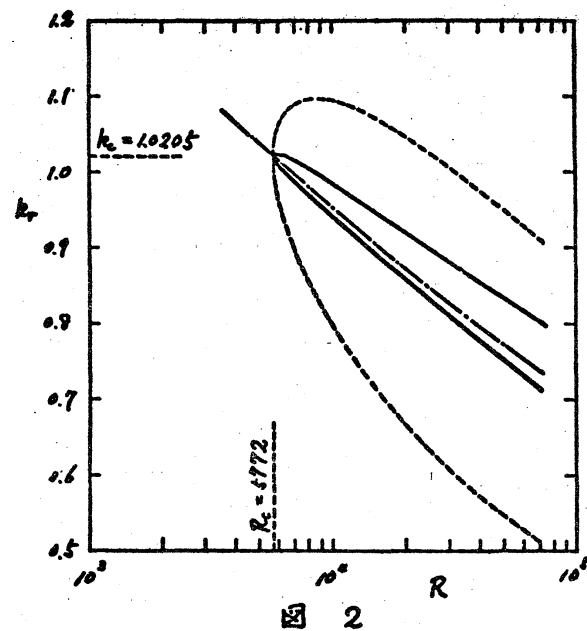


図 2

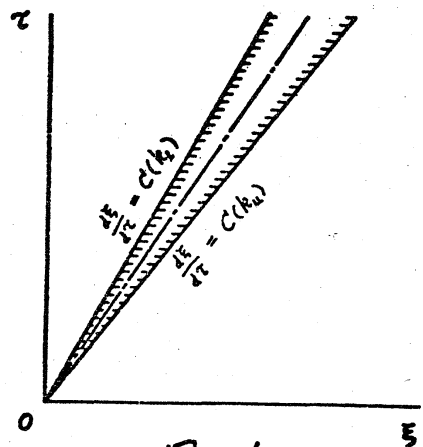


図 4